

Aspectos clásicos de un modelo bosónico con tres sitios.

Erick Castro

Universidad federal de Rio Grande del Sur (UFRGS) Brazil

erickc@cbpf.br

Enero 26, 2022



- 1 El límite clásico en un modelo bosónico cuántico de muchos cuerpos.
- 2 Puntos de equilibrio estables e inestables
- 3 Secciones de Poincare
- 4 Comparación cuántico-clásica
 - Función de Husimi
- 5 OTOC en estados coherentes
- 6 Futuros análisis

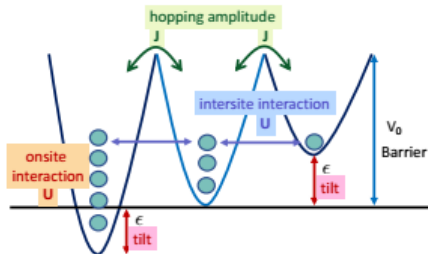
El límite clásico en un modelo bosónico cuántico de muchos cuerpos

El límite clásico en un modelo bosónico cuántico de muchos cuerpos

- El modelo es una variante del conocido modelo de Bose-Hubbard

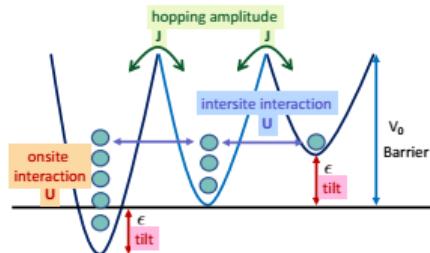
El límite clásico en un modelo bosónico cuántico de muchos cuerpos

- El modelo es una variante del conocido modelo de Bose-Hubbard



El límite clásico en un modelo bosónico cuántico de muchos cuerpos

- El modelo es una variante del conocido modelo de Bose-Hubbard



- El modelo cuando $\epsilon = 0$ es integrable y admite resolución exacta vía el Ansatz de Bethe.

El Hamiltoniano cuántico es

$$\begin{aligned}
 H = & \underbrace{\frac{U}{N} \left(\hat{N}_1 - \hat{N}_2 + \hat{N}_3 \right)^2}_{\text{Interaction boson term}} \quad \underbrace{+ \epsilon \left(\hat{N}_3 - \hat{N}_1 \right)}_{\text{External field interaction term}} \\
 & + \underbrace{\frac{J}{\sqrt{2}} \left(a_1^\dagger a_2 + a_2^\dagger a_1 \right) + \frac{J}{\sqrt{2}} \left(a_2^\dagger a_3 + a_3^\dagger a_2 \right)}_{\text{Tunneling boson term}}
 \end{aligned} \tag{1}$$

El Hamiltoniano cuántico es

$$\begin{aligned}
 H = & \underbrace{\frac{U}{N} \left(\hat{N}_1 - \hat{N}_2 + \hat{N}_3 \right)^2}_{\text{Interaction boson term}} \quad \underbrace{+ \epsilon \left(\hat{N}_3 - \hat{N}_1 \right)}_{\text{External field interaction term}} \\
 & + \underbrace{\frac{J}{\sqrt{2}} \left(a_1^\dagger a_2 + a_2^\dagger a_1 \right) + \frac{J}{\sqrt{2}} \left(a_2^\dagger a_3 + a_3^\dagger a_2 \right)}_{\text{Tunneling boson term}} \quad (1)
 \end{aligned}$$

Un tratamiento completo desde el punto de vista de caos cuántico está en:
 Karin Wittmann W., **E. R. Castro**, Angela Foerster and Lea F. Santos
Interacting bosons in a triple well: Preface of many-body quantum chaos
 arXiv:2111.13714

- Sin embargo, aquí caos cuántico no será nuestro interés, sino el tratamiento clásico.

- Sin embargo, aquí caos cuántico no será nuestro interés, sino el tratamiento clásico.
- En sistemas de muchos cuerpos el límite clásico está relacionado con $N \rightarrow \infty$ (límite de campo medio ó límite semiclassical), similar a $\hbar \rightarrow 0$ en sistemas cuánticos convencionales.

- Sin embargo, aquí caos cuántico no será nuestro interés, sino el tratamiento clásico.
- En sistemas de muchos cuerpos el límite clásico está relacionado con $N \rightarrow \infty$ (límite de campo medio ó límite semiclassical), similar a $\hbar \rightarrow 0$ en sistemas cuánticos convencionales.
- Más nada nos impide estudiar el sistema desde un punto de vista puramente clásico para todo N

- Sin embargo, aquí caos cuántico no será nuestro interés, sino el tratamiento clásico.
- En sistemas de muchos cuerpos el límite clásico está relacionado con $N \rightarrow \infty$ (límite de campo medio ó límite semiclassical), similar a $\hbar \rightarrow 0$ en sistemas cuánticos convencionales.
- Más nada nos impide estudiar el sistema desde un punto de vista puramente clásico para todo N
- La “regla” usual en sistemas bosónicos es usar la substitución de Heisenberg

$$a_j \rightarrow \sqrt{N_j} \exp(i\phi_j), \quad a_j^\dagger \rightarrow \sqrt{N_j} \exp(-i\phi_j) \quad (2)$$

- Sin embargo, aquí caos cuántico no será nuestro interés, sino el tratamiento clásico.
- En sistemas de muchos cuerpos el límite clásico está relacionado con $N \rightarrow \infty$ (límite de campo medio ó límite semiclassical), similar a $\hbar \rightarrow 0$ en sistemas cuánticos convencionales.
- Más nada nos impide estudiar el sistema desde un punto de vista puramente clásico para todo N
- La “regla” usual en sistemas bosónicos es usar la substitución de Heisenberg

$$a_j \rightarrow \sqrt{N_j} \exp(i\phi_j), \quad a_j^\dagger \rightarrow \sqrt{N_j} \exp(-i\phi_j) \quad (2)$$

- La fase es asociada a los estados coherentes usados para obtener el límite clásico.

El Hamiltoniano en las coordenadas clásicas (N_i, ϕ_{ij}) , con $\phi_{ij} = \phi_i - \phi_j$, es

$$\mathcal{H} = \frac{U}{N} (N_1 - N_2 + N_3)^2 + \epsilon (N_3 - N_1) + J \left(\sqrt{2N_1 N_2} \cos \phi_{12} + \sqrt{2N_3 N_2} \cos \phi_{32} \right) \quad (3)$$

El Hamiltoniano en las coordenadas clásicas (N_i, ϕ_{ij}) , con $\phi_{ij} = \phi_i - \phi_j$, es

$$\mathcal{H} = \frac{U}{N} (N_1 - N_2 + N_3)^2 + \epsilon (N_3 - N_1) + J \left(\sqrt{2N_1 N_2} \cos \phi_{12} + \sqrt{2N_3 N_2} \cos \phi_{32} \right) \quad (3)$$

- Ya que $N_1 + N_2 + N_3 = N$, el sistema tiene 4 dimensiones $(N_1, N_3, \phi_{12}, \phi_{23})$.

El Hamiltoniano en las coordenadas clásicas (N_i, ϕ_{ij}) , con $\phi_{ij} = \phi_i - \phi_j$, es

$$\mathcal{H} = \frac{U}{N} (N_1 - N_2 + N_3)^2 + \epsilon (N_3 - N_1) + J \left(\sqrt{2N_1N_2} \cos \phi_{12} + \sqrt{2N_3N_2} \cos \phi_{32} \right) \quad (3)$$

- Ya que $N_1 + N_2 + N_3 = N$, el sistema tiene 4 dimensiones $(N_1, N_3, \phi_{12}, \phi_{23})$.
- ¿ (N_i, ϕ_{ij}) son variables canónicas (es decir $\{N_i, \phi_{ij}\} = 1$)?

El Hamiltoniano en las coordenadas clásicas (N_i, ϕ_{ij}) , con $\phi_{ij} = \phi_i - \phi_j$, es

$$\mathcal{H} = \frac{U}{N} (N_1 - N_2 + N_3)^2 + \epsilon (N_3 - N_1) + J \left(\sqrt{2N_1 N_2} \cos \phi_{12} + \sqrt{2N_3 N_2} \cos \phi_{32} \right) \quad (3)$$

- Ya que $N_1 + N_2 + N_3 = N$, el sistema tiene 4 dimensiones $(N_1, N_3, \phi_{12}, \phi_{23})$.
- ¿ (N_i, ϕ_{ij}) son variables canónicas (es decir $\{N_i, \phi_{ij}\} = 1$)?
- ¿Existe un operador fase $\hat{\phi}_{ij}$, que satisfice $[\hat{N}_i, \hat{\phi}_{ij}] = i$?

El Hamiltoniano en las coordenadas clásicas (N_i, ϕ_{ij}) , con $\phi_{ij} = \phi_i - \phi_j$, es

$$\mathcal{H} = \frac{U}{N} (N_1 - N_2 + N_3)^2 + \epsilon (N_3 - N_1) + J \left(\sqrt{2N_1 N_2} \cos \phi_{12} + \sqrt{2N_3 N_2} \cos \phi_{32} \right) \quad (3)$$

- Ya que $N_1 + N_2 + N_3 = N$, el sistema tiene 4 dimensiones $(N_1, N_3, \phi_{12}, \phi_{23})$.
- ¿ (N_i, ϕ_{ij}) son variables canónicas (es decir $\{N_i, \phi_{ij}\} = 1$)?
- ¿Existe un operador fase $\hat{\phi}_{ij}$, que satisface $[\hat{N}_i, \hat{\phi}_{ij}] = i$?
- Para eludir esta disjuntiva, conviene usar otras coordenadas

$$\hat{Q}_k = \frac{\hat{a}_k + \hat{a}_k^\dagger}{\sqrt{2N}} \rightarrow \sqrt{\frac{2N_k}{N}} \cos \phi_k = Q_k, \quad (4)$$

$$\hat{P}_k = \frac{\hat{a}_k - \hat{a}_k^\dagger}{i\sqrt{2N}} \rightarrow \sqrt{\frac{2N_k}{N}} \sin \phi_k = P_k \quad (5)$$

El hamiltoniano en estas nuevas coordenadas es

$$\begin{aligned}\mathcal{H} = & U \left(\frac{P_1^2 + Q_1^2}{2} - \frac{P_2^2 + Q_2^2}{2} + \frac{P_3^2 + Q_3^2}{2} \right)^2 \\ & + \frac{\epsilon}{2} [(P_3 + P_1)(P_3 - P_1) + (Q_3 + Q_1)(Q_3 - Q_1)] \\ & + \frac{J}{\sqrt{2}} (Q_1 Q_2 + Q_2 Q_3 + P_1 P_2 + P_2 P_3)\end{aligned}\tag{6}$$

El hamiltoniano en estas nuevas coordenadas es

$$\begin{aligned}\mathcal{H} = & U \left(\frac{P_1^2 + Q_1^2}{2} - \frac{P_2^2 + Q_2^2}{2} + \frac{P_3^2 + Q_3^2}{2} \right)^2 \\ & + \frac{\epsilon}{2} [(P_3 + P_1)(P_3 - P_1) + (Q_3 + Q_1)(Q_3 - Q_1)] \\ & + \frac{J}{\sqrt{2}} (Q_1 Q_2 + Q_2 Q_3 + P_1 P_2 + P_2 P_3)\end{aligned}\quad (6)$$

Y tenemos garantía que las ecuaciones de Hamilton funcionan

$$\left(\dot{Q}_k, \dot{P}_k \right) = \left(\frac{\partial \mathcal{H}}{\partial P_k}, -\frac{\partial \mathcal{H}}{\partial Q_k} \right)\quad (7)$$

El hamiltoniano en estas nuevas coordenadas es

$$\begin{aligned}\mathcal{H} = & U \left(\frac{P_1^2 + Q_1^2}{2} - \frac{P_2^2 + Q_2^2}{2} + \frac{P_3^2 + Q_3^2}{2} \right)^2 \\ & + \frac{\epsilon}{2} [(P_3 + P_1)(P_3 - P_1) + (Q_3 + Q_1)(Q_3 - Q_1)] \\ & + \frac{J}{\sqrt{2}} (Q_1 Q_2 + Q_2 Q_3 + P_1 P_2 + P_2 P_3)\end{aligned}\quad (6)$$

Y tenemos garantía que las ecuaciones de Hamilton funcionan

$$\left(\dot{Q}_k, \dot{P}_k \right) = \left(\frac{\partial \mathcal{H}}{\partial P_k}, -\frac{\partial \mathcal{H}}{\partial Q_k} \right) \quad (7)$$

- Podemos realizar las evoluciones clásicas en este conjunto de coordenadas globales.

El hamiltoniano en estas nuevas coordenadas es

$$\begin{aligned}\mathcal{H} = & U \left(\frac{P_1^2 + Q_1^2}{2} - \frac{P_2^2 + Q_2^2}{2} + \frac{P_3^2 + Q_3^2}{2} \right)^2 \\ & + \frac{\epsilon}{2} [(P_3 + P_1)(P_3 - P_1) + (Q_3 + Q_1)(Q_3 - Q_1)] \\ & + \frac{J}{\sqrt{2}} (Q_1 Q_2 + Q_2 Q_3 + P_1 P_2 + P_2 P_3)\end{aligned}\quad (6)$$

Y tenemos garantía que las ecuaciones de Hamilton funcionan

$$\left(\dot{Q}_k, \dot{P}_k \right) = \left(\frac{\partial \mathcal{H}}{\partial P_k}, -\frac{\partial \mathcal{H}}{\partial Q_k} \right) \quad (7)$$

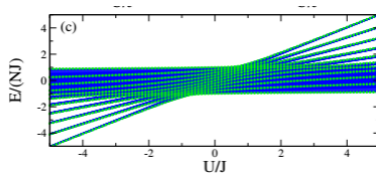
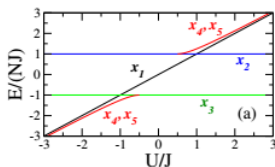
- Podemos realizar las evoluciones clásicas en este conjunto de coordenadas globales.
- Y el cambio para las coordenadas originales (N_i, ϕ_{ij}) es simple.

Puntos de equilibrio estables y inestables

- En el reciente trabajo: **E. R. Castro**, Jorge Chávez-Carlos, I. Roditi, Lea F. Santos, Jorge G. Hirsch *Quantum* 5, 563 (2021), calculamos los puntos de equilibrio del modelo

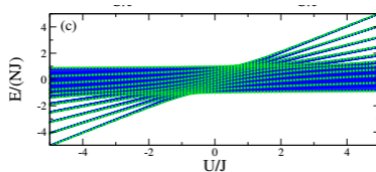
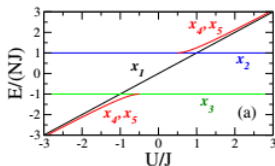
Puntos de equilibrio estables e inestables

- En el reciente trabajo: **E. R. Castro**, Jorge Chávez-Carlos, I. Roditi, Lea F. Santos, Jorge G. Hirsch *Quantum* 5, 563 (2021), calculamos los puntos de equilibrio del modelo
- Entre los resultados encontramos una transición de fase en el régimen integrable $\epsilon = 0$, que señala la formación de bandas



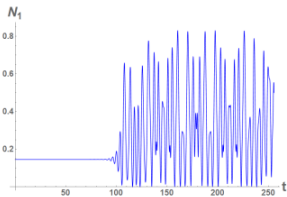
Puntos de equilibrio estables e inestables

- En el reciente trabajo: **E. R. Castro**, Jorge Chávez-Carlos, I. Roditi, Lea F. Santos, Jorge G. Hirsch *Quantum* 5, 563 (2021), calculamos los puntos de equilibrio del modelo
- Entre los resultados encontramos una transición de fase en el régimen integrable $\epsilon = 0$, que señala la formación de bandas

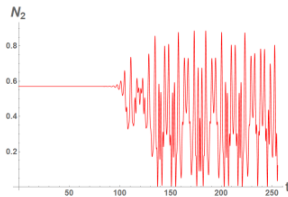


- No obstante como aquí estamos interesados en la dinámica, mostraremos está en un punto de equilibrio inestable.

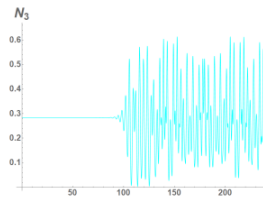
En el caso caótico $(U, J, \epsilon) = (0.6, 1, 1.2)$, el punto de equilibrio inestable está en $(N_1, N_3, \phi_{12}, \phi_{32}) \approx (0.146108, 0.283528, 0, \pi)$



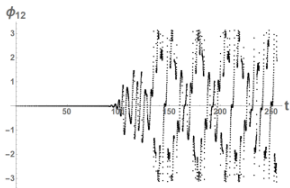
(a) $N_1(t)$



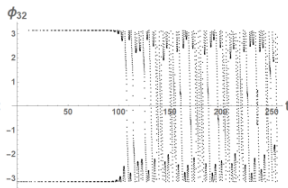
(b) $N_2(t)$



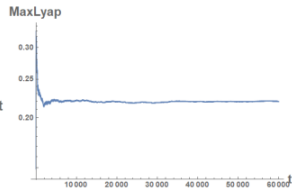
(c) $N_3(t)$



(d) $\phi_{12}(t)$



(e) $\phi_{32}(t)$



(f) $\lambda(t)$

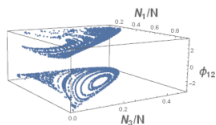
- Teniendo el sistema 4 dimensiones $(N_1, N_3, \phi_{12}, \phi_{32})$, las hypersuperficies de energía constante son tridimensionales.

Secciones de Poincare

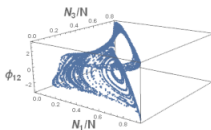
- Teniendo el sistema 4 dimensiones ($N_1, N_3, \phi_{12}, \phi_{32}$), las hypersuperficies de energía constante son tridimensionales.
- Fijando una de las coordenadas (por ejemplo ϕ_{32}) podemos calcular las superficies de Poincare.

Secciones de Poincare

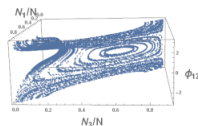
- Teniendo el sistema 4 dimensiones ($N_1, N_3, \phi_{12}, \phi_{32}$), las hypersuperficies de energía constante son tridimensionales.
- Fijando una de las coordenadas (por ejemplo ϕ_{32}) podemos calcular las superficies de Poincare.
- Para $\epsilon = 0$ y $E/N \approx 0.01633$ obtenemos



(a) $\phi_{32} = 1$



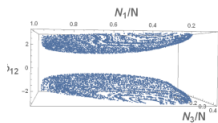
(b) $\phi_{32} = 2$



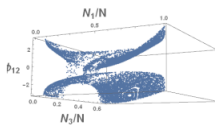
(c) $\phi_{32} = 3$

...

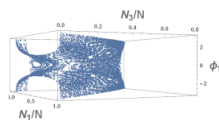
- Para $\epsilon = 0.5$ y $E/N \approx 0.01633$



(a) $\phi_{32} = 1$



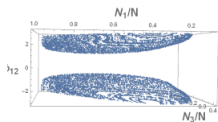
(b) $\phi_{32} = 2$



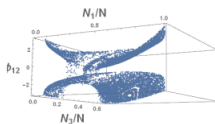
(c) $\phi_{32} = 3$

...

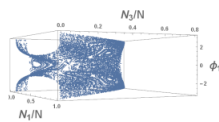
- Para $\epsilon = 0.5$ y $E/N \approx 0.01633$



(a) $\phi_{32} = 1$

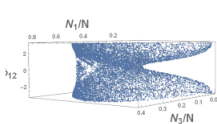


(b) $\phi_{32} = 2$

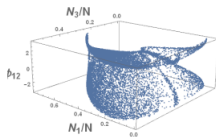


(c) $\phi_{32} = 3$

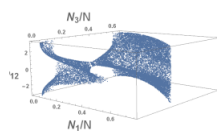
- Para $\epsilon = 1.2$ y $E/N \approx 0.01633$



(a) $\phi_{32} = 1$

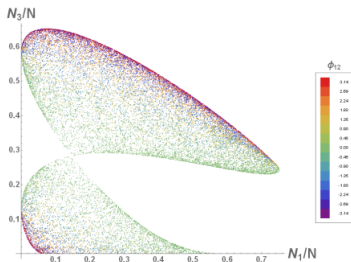
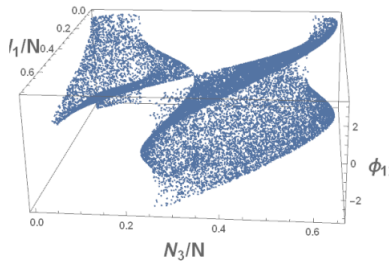


(b) $\phi_{32} = 2$



(c) $\phi_{32} = 3$

- En el caso anterior para $\phi_{32} = \pi$ vemos el punto crítico inestable.



Comparación cuántico-clásica

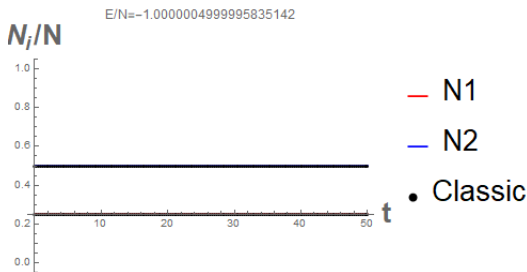
- Para comparaciones clásica-cuántica usamos estados coherentes $|\alpha_1, \alpha_2, \alpha_3\rangle$ (tipo oscilador armónico).

Comparación cuántico-clásica

- Para comparaciones clásica-cuántica usamos estados coherentes $|\alpha_1, \alpha_2, \alpha_3\rangle$ (tipo oscilador armónico).
- Existe una correspondencia uno a uno entre condiciones iniciales clásicas y estados coherentes $(N_1, N_3, \phi_{12}, \phi_{32}) \leftrightarrow |N_1, N_3, \phi_{12}, \phi_{32}\rangle$

Comparación cuántico-clásica

- Para comparaciones clásica-cuántica usamos estados coherentes $|\alpha_1, \alpha_2, \alpha_3\rangle$ (tipo oscilador armónico).
- Existe una correspondencia uno a uno entre condiciones iniciales clásicas y estados coherentes $(N_1, N_3, \phi_{12}, \phi_{32}) \leftrightarrow |N_1, N_3, \phi_{12}, \phi_{32}\rangle$
- Primero comparamos la evolución clásica con la correspondiente evolución de valores medios en el estado coherente ($N = 60$).



- La función de Husimi en nuestro caso puede escribirse como

$$\mathfrak{H}_{E_k}(N_1, N_3, \phi_{12}, \phi_{32}) = |\langle E_k | N_1, N_3, \phi_{12}, \phi_{32} \rangle|^2 \quad (8)$$

- La función de Husimi en nuestro caso puede escribirse como

$$\mathfrak{H}_{E_k}(N_1, N_3, \phi_{12}, \phi_{32}) = |\langle E_k | N_1, N_3, \phi_{12}, \phi_{32} \rangle|^2 \quad (8)$$

- Sin embargo, es conveniente trabajar con la proyección de Husimi integrando sobre las dos fases.

$$\mathfrak{H}_{E_k}^{\text{Proj}}(N_1, N_3) = \int d\phi_{12} d\phi_{32} \mathfrak{H}_{E_k}(N_1, N_3, \phi_{12}, \phi_{32}) \quad (9)$$

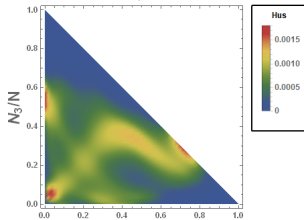
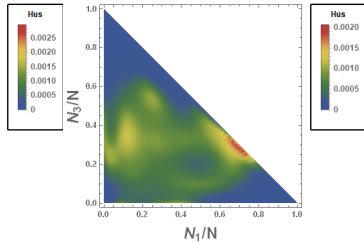
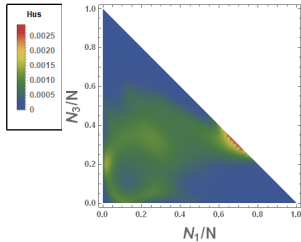
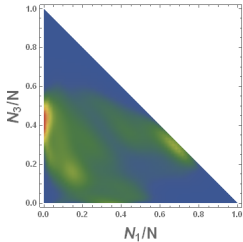
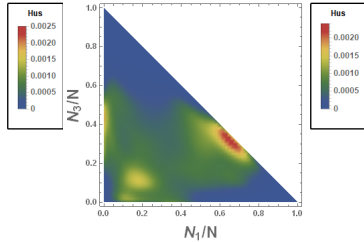
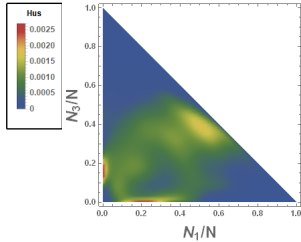
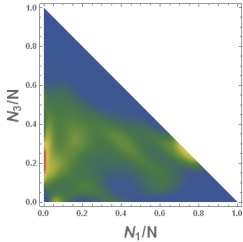
- La función de Husimi en nuestro caso puede escribirse como

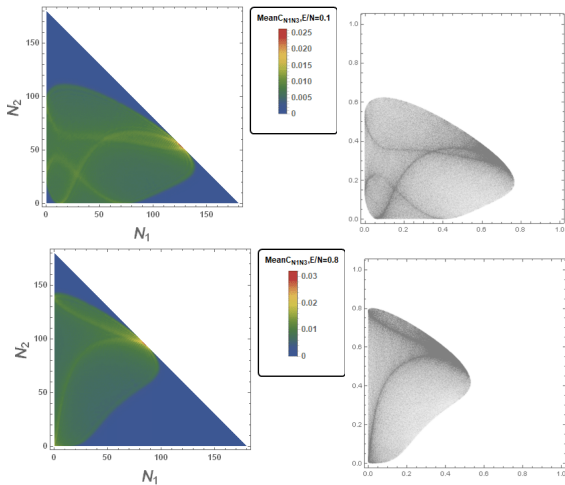
$$\mathfrak{H}_{E_k}(N_1, N_3, \phi_{12}, \phi_{32}) = |\langle E_k | N_1, N_3, \phi_{12}, \phi_{32} \rangle|^2 \quad (8)$$

- Sin embargo, es conveniente trabajar con la proyección de Husimi integrando sobre las dos fases.

$$\mathfrak{H}_{E_k}^{\text{Proj}}(N_1, N_3) = \int d\phi_{12} d\phi_{32} \mathfrak{H}_{E_k}(N_1, N_3, \phi_{12}, \phi_{32}) \quad (9)$$

- La primera idea pensada fue calcular la función de Husimi en la energía correspondiente al punto crítico inestable.





Por último, sea el operador

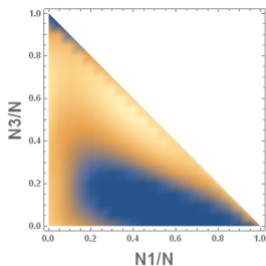
$$\mathbf{O}_k(t) = - [\mathbf{Q}_k(t), \mathbf{P}_k(0)]^2 \quad (10)$$

Por último, sea el operador

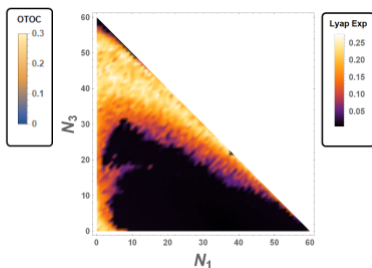
$$\mathbf{O}_k(t) = - [\mathbf{Q}_k(t), \mathbf{P}_k(0)]^2 \quad (10)$$

Suponiendo que el valor medio en un estado coherente aumenta de forma exponencial con el tiempo, esto es

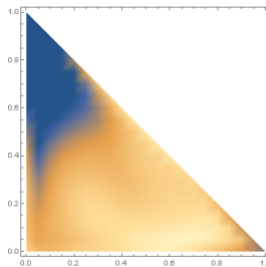
$$\langle N_1, N_3, \phi_{12}, \phi_{32} | \mathbf{O}_k(t) | N_1, N_3, \phi_{12}, \phi_{32} \rangle \approx \text{Exp}\left(\frac{\Lambda}{2} t\right) \quad (11)$$



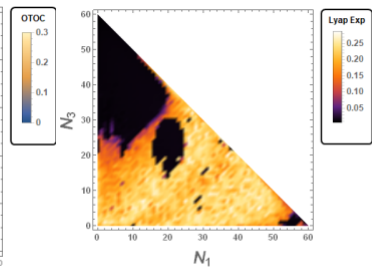
(a) $(\phi_{12}, \phi_{32}) = (\pi, \pi)$



(b) $(\phi_{12}, \phi_{32}) = (\pi, \pi)$



(c) $(\phi_{12}, \phi_{32}) = (0, 0)$



(d) $(\phi_{12}, \phi_{32}) = (0, 0)$

- ¿Son scars las lineas en la función de Husimi promediada?

- ¿Son scars las lineas en la función de Husimi promediada?
- Si la respuesta es positiva ¿Hay trayectorias clásicas asociadas?

- ¿Son scars las lineas en la función de Husimi promediada?
- Si la respuesta es positiva ¿Hay trayectorias clásicas asociadas?
- Extender el estudio de la correspondencia clásico-cuántica usando la probabilidad de supervivencia (clásica y cuántica).

- Lea F. Santos
- Jorge Hirsch
- Angela Foerster
- Jorge Chavez
- Karin Wittmann
- Itzhak Roditi